

FIG. 1A
PRIOR ART

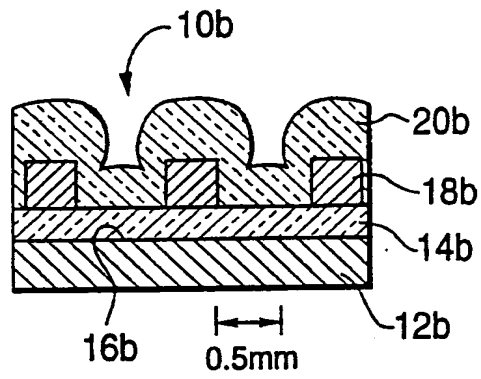


FIG. 1B
PRIOR ART

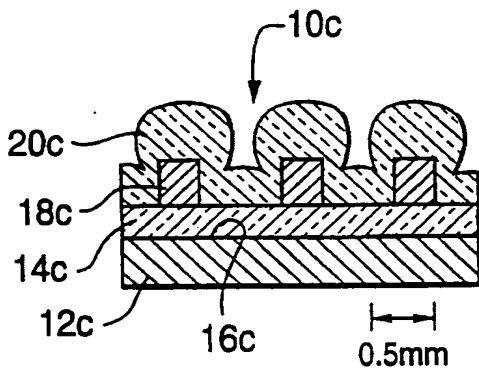


FIG. 1C
PRIOR ART

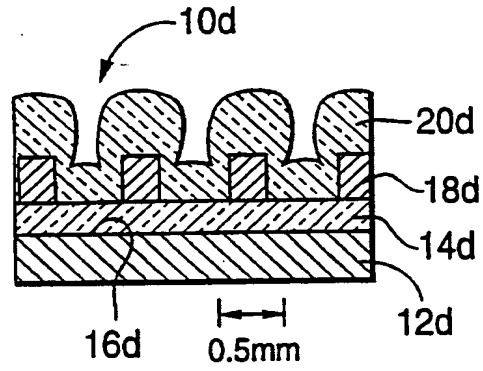


FIG. 1D
PRIOR ART

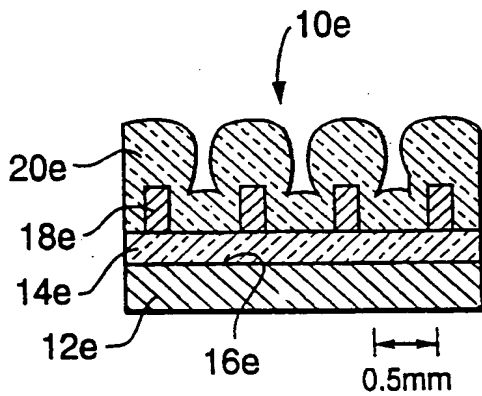


FIG. 1E
PRIOR ART

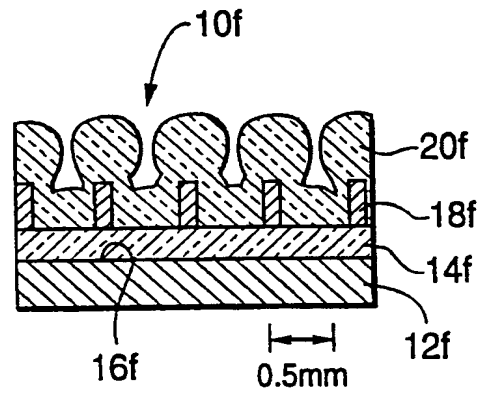


FIG. 1F
PRIOR ART

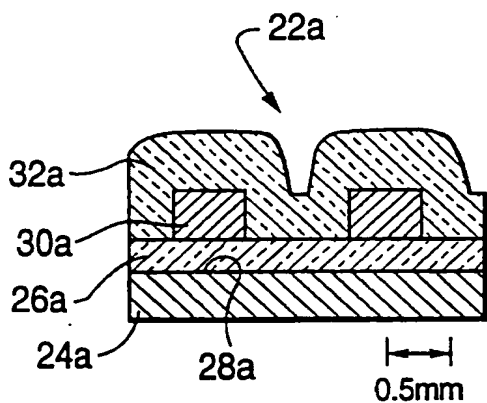


FIG. 2A
PRIOR ART

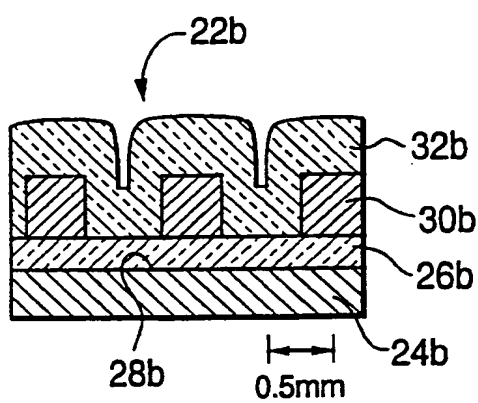


FIG. 2B
PRIOR ART

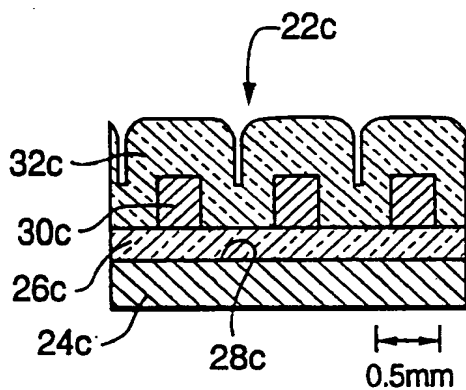


FIG. 2C
PRIOR ART

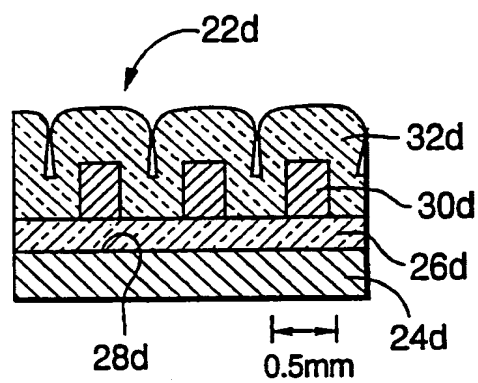


FIG. 2D
PRIOR ART

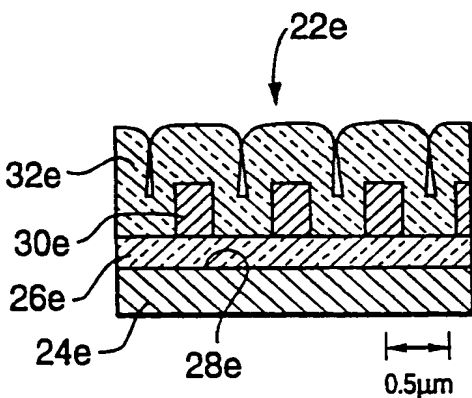


FIG. 2E
PRIOR ART

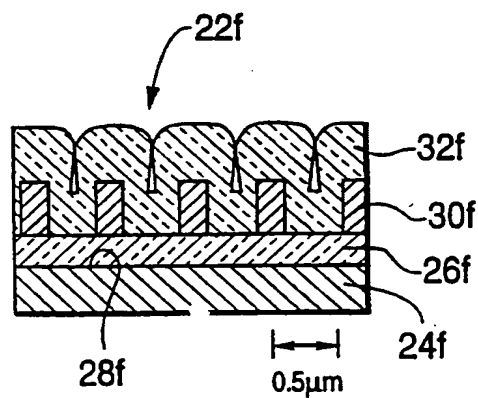
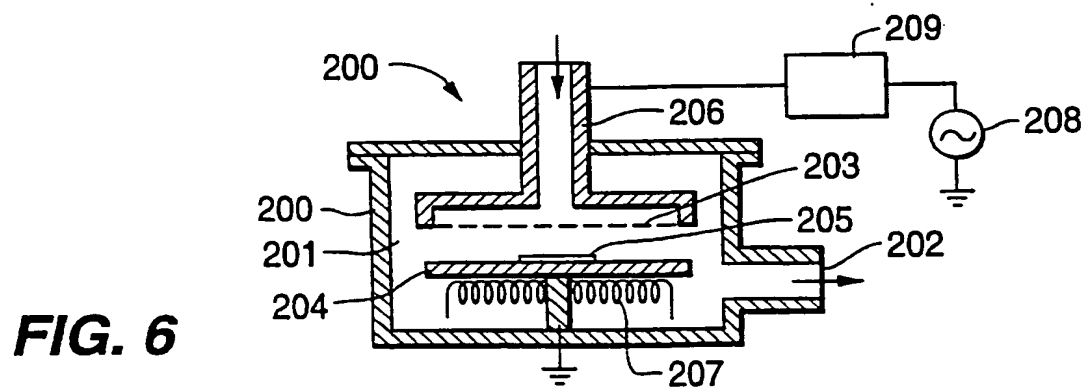
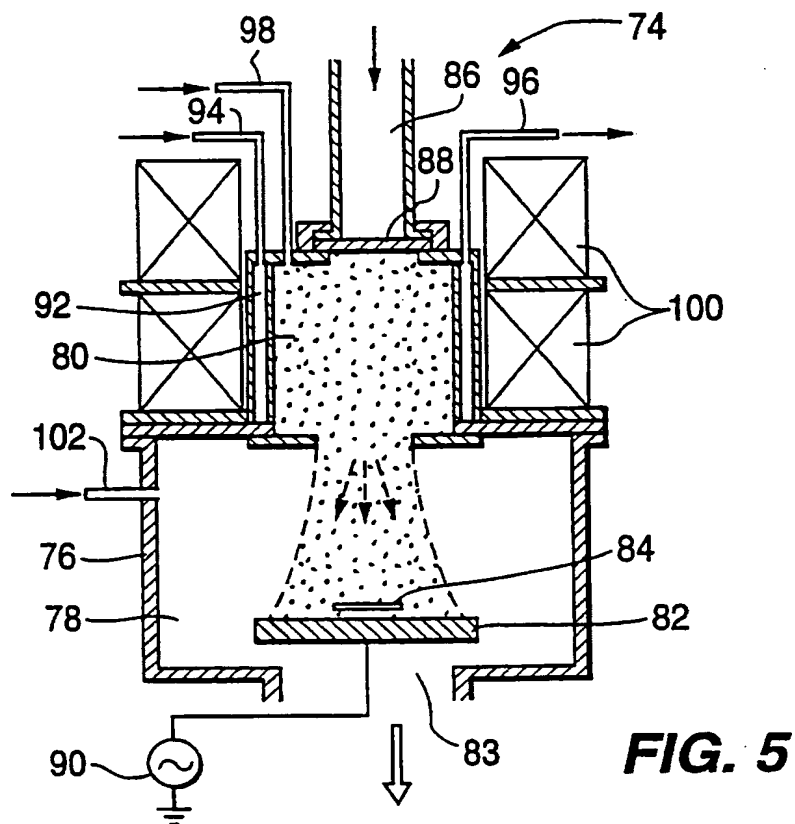
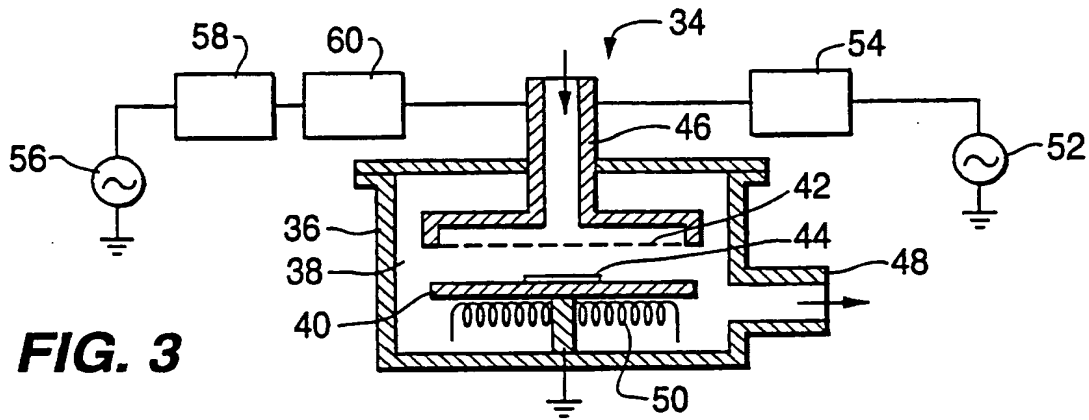


FIG. 2F
PRIOR ART



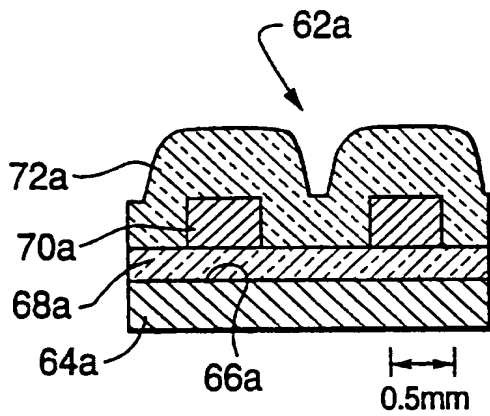


FIG. 4A

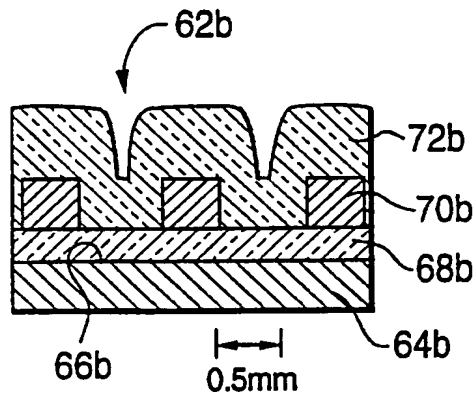


FIG. 4B

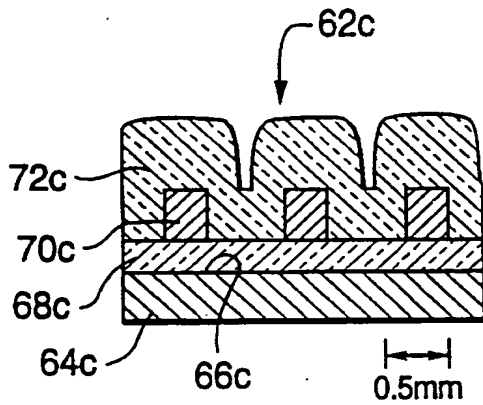


FIG. 4C

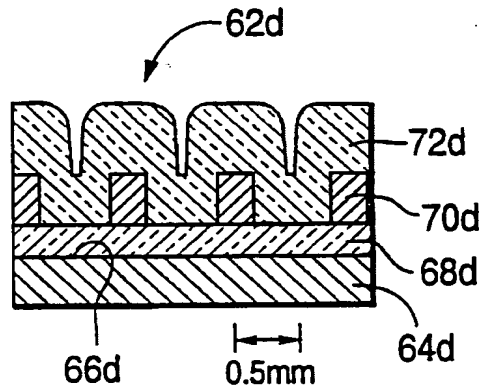


FIG. 4D

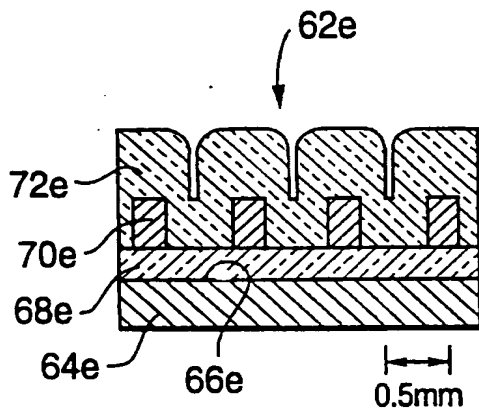


FIG. 4E

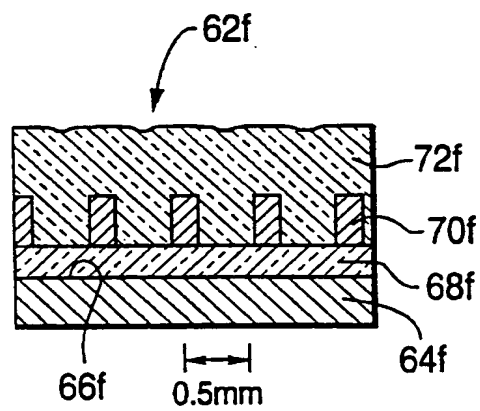


FIG. 4F

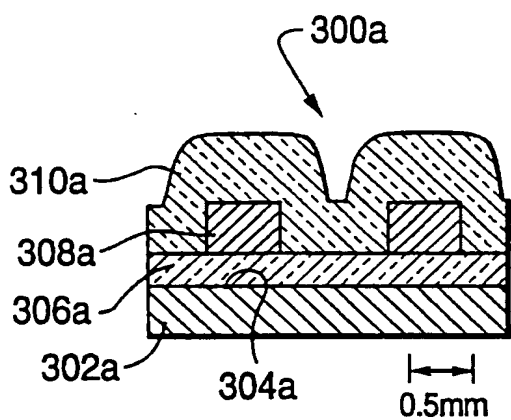


FIG. 7A

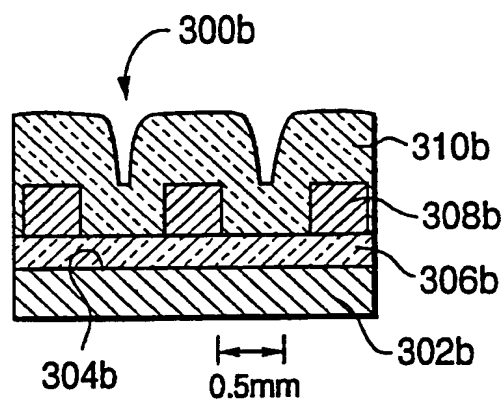


FIG. 7B

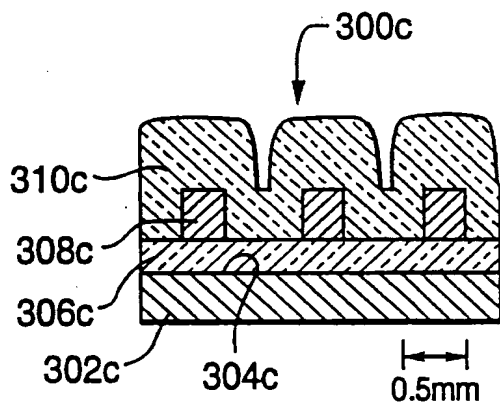


FIG. 7C

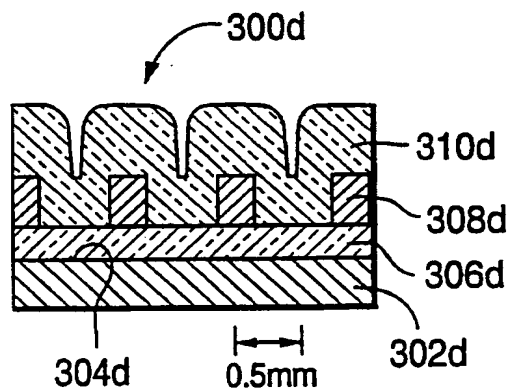


FIG. 7D

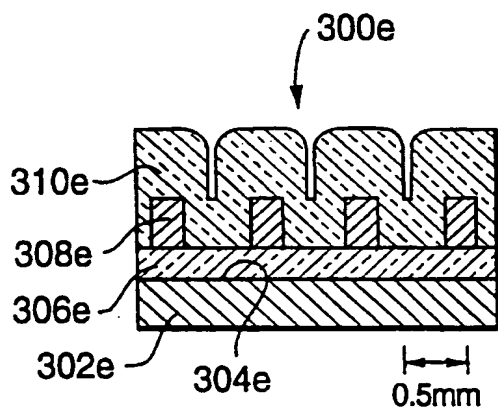


FIG. 7E

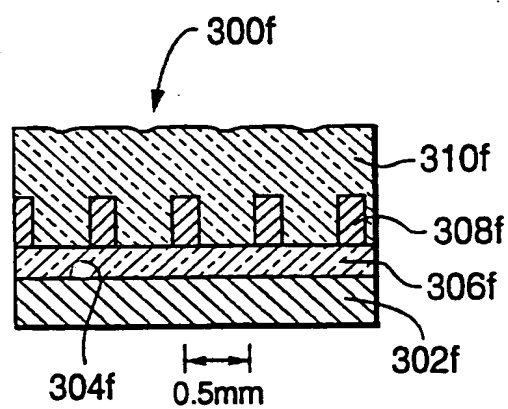
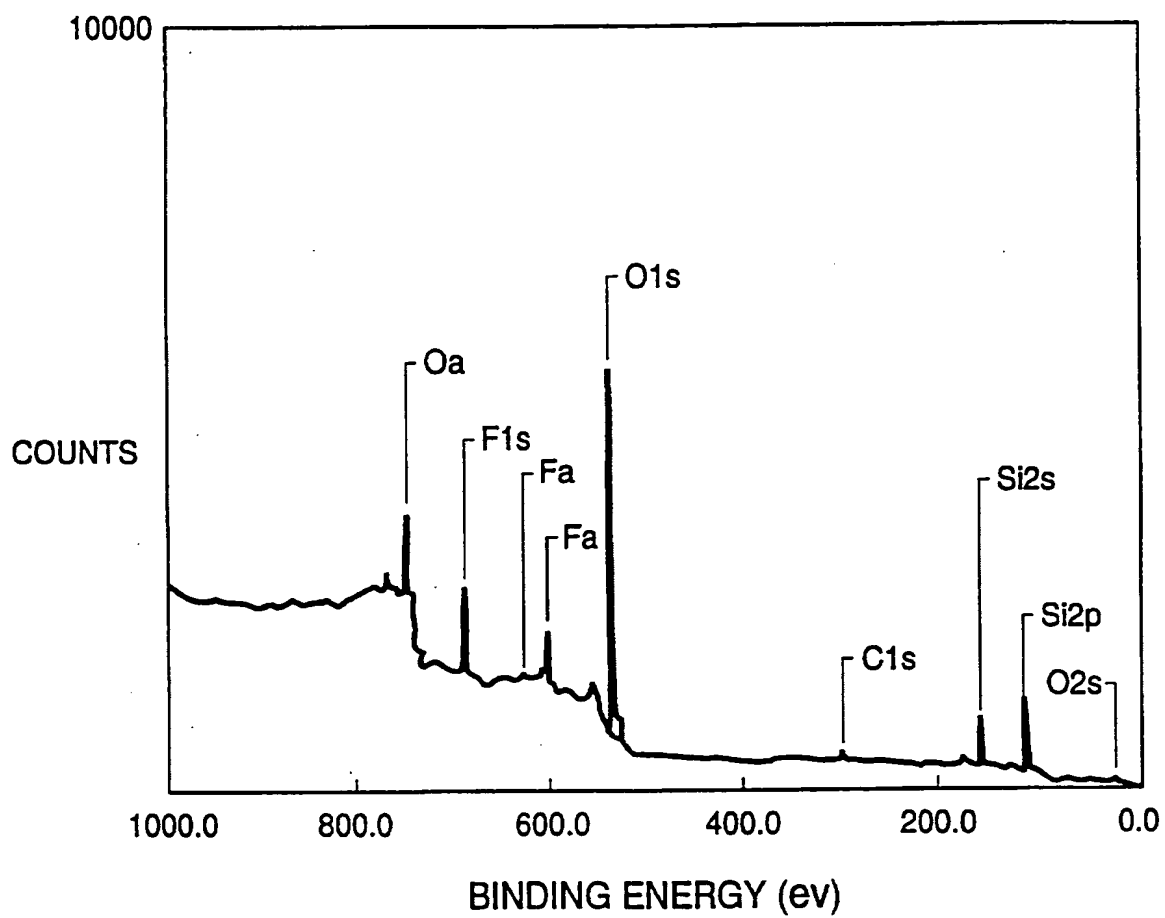


FIG. 7F



XPS SPECTRUM FOR C₂F₆ DOPED PE-TEOS FILM.

FIG. 8A

86507 1526750

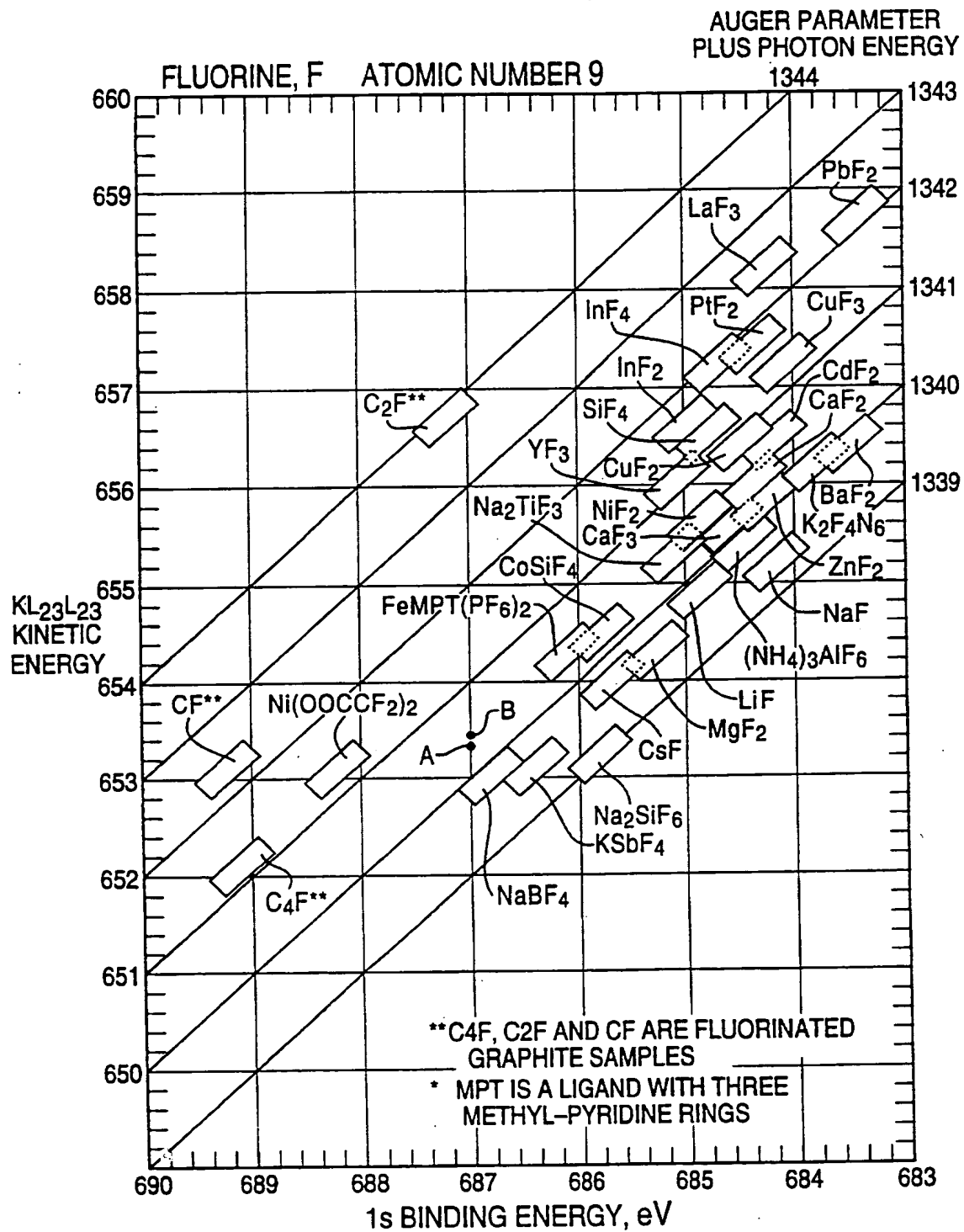


FIG. 8B

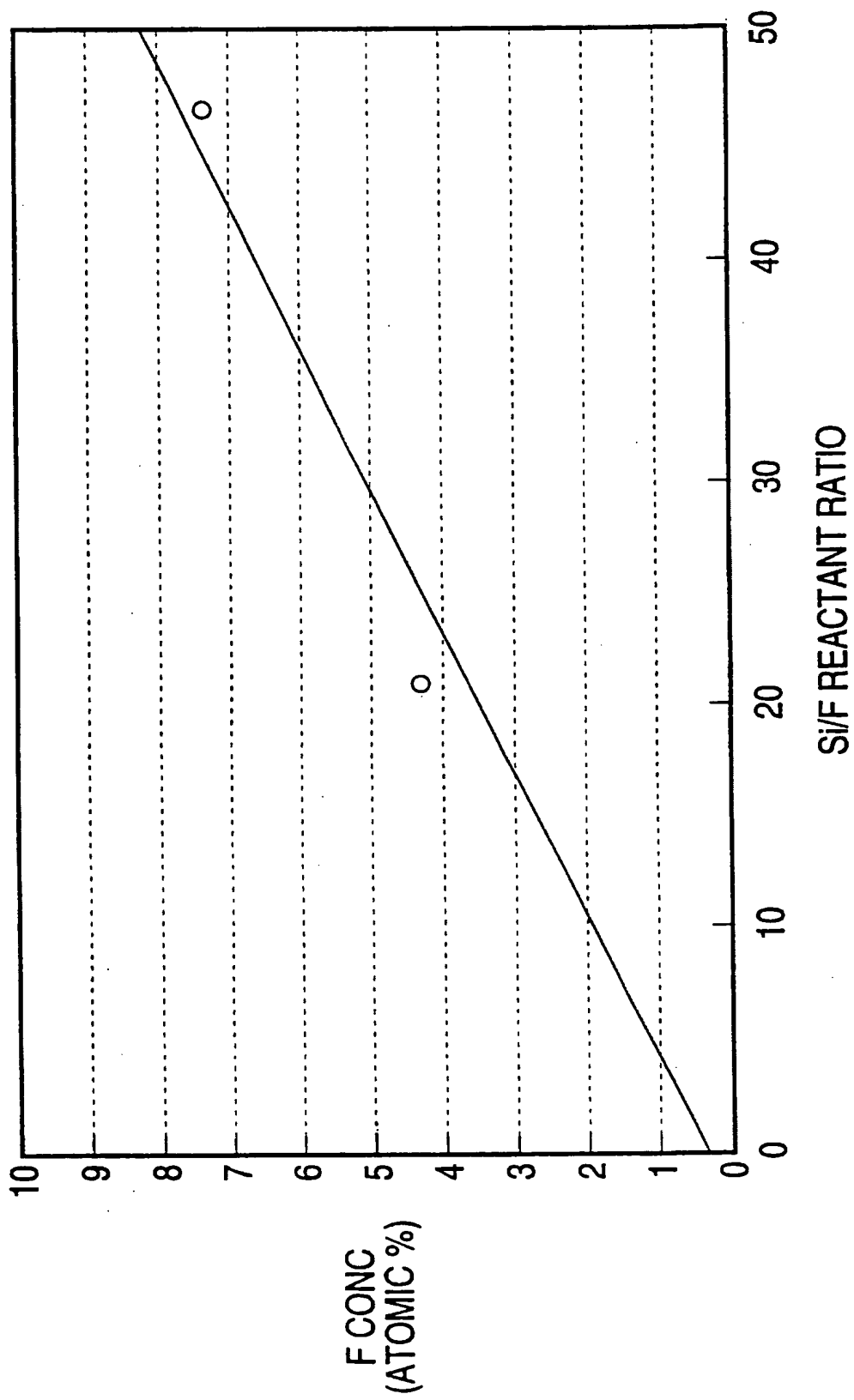


FIG. 9

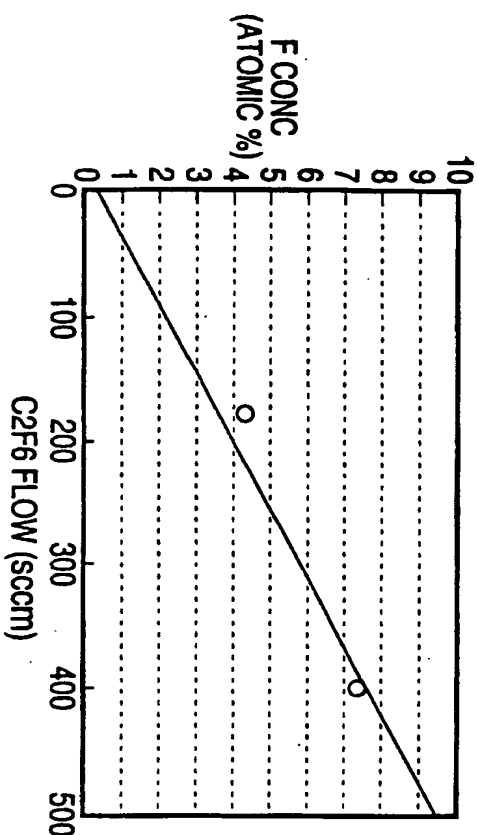


FIG. 10

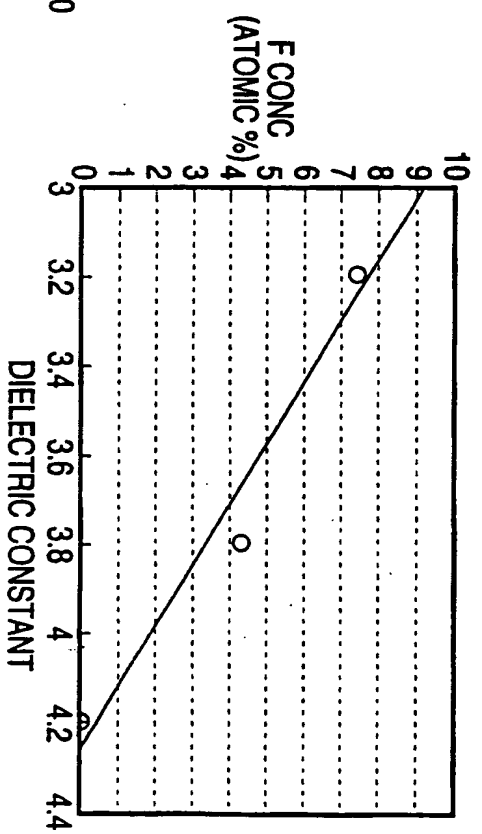


FIG. 11

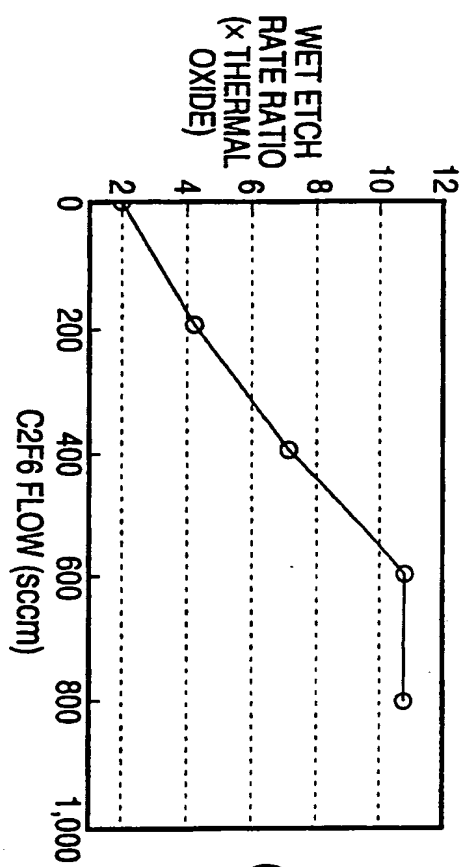


FIG. 12

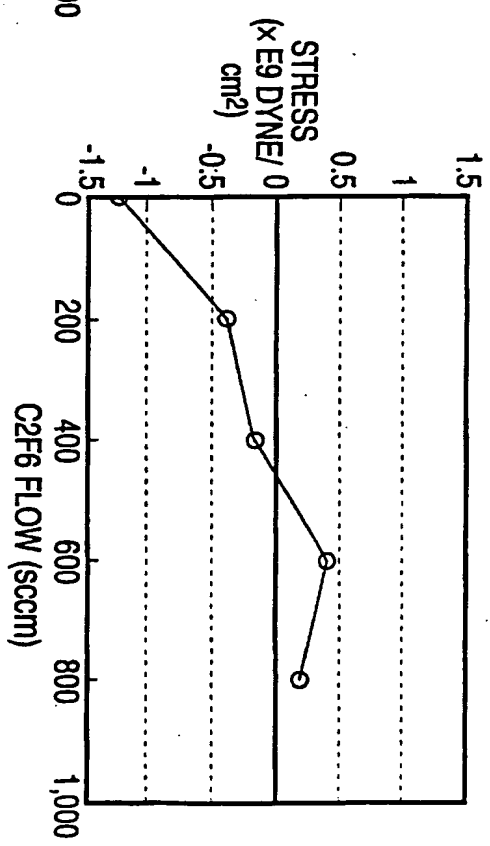


FIG. 13